

陸上に遇上した津波に対する防波堤の効果について

東北大字工学部 正員 岩崎敏夫

" " ○高橋義由

" 学生員 橋本孝一

" " 村山哲夫

I 総 要

従来 陸上に遇上した津波に対する防波堤 築堤(鉄道 道路)等の障害物の効果についての理論的研究結果が殆どないにいたる。例えは防波堤を高くとすれば堤高を既存津波の痕跡高にとどめたり その都度模型実験を行つといつたよりに設計基準を決めてきた場合が多い。筆者等は数年來陸上への津波遇上に関する研究を行つてきりであるが、その一環として、津波遇上波を用いてそれが船直岸壁を越えて水平な陸上に遇上した波の直立堤に衝突したときの遮蔽効果を実験し、理論解析を行つた。理論解析は一次元解析法による近似的モデルであるが、実験結果と比較的よく一致が見られた。その結果、陸上に遇上した津波に対する障害物の効果については、堤背の波高と流量を減少せしめる遮蔽効果はあるが、流速は殆ど変わらないことがわかった。尚、この論文は前論文⁽¹⁾に續けて加筆したものである。

II 理論解析の前提

筆者等は前論文⁽¹⁾で陸上に遇上した津波の波高(H_1)、流速(u_1)等がある程度理論的に求め得ることを述べまたそれらの理論的実地への適用の一例を示して貰つた。しかしながら依然として流底のまきの効果と関連して、波の front condition については未だ十分な研究成果を得られていないので、ここでは若干引けをひいて詳入りやす別途機会に申すこととする。従つてここでは流底まきを無視して、上述のよう陸上に遇上する場合、時間に沿って遇上津波の波高(H_1)、流速(u_1)がわかり、かつ直立堤高(H_d)が与えられる場合には、それが直立堤に衝突したときの現象について検討し、必要な水理量を求めることを考える。陸上の遇上津波は非定常流とみなされることは、あるが、津波の周期が非常に長いので、反射波と換算領域(断面I~II, III~IV)を除いては水平方向の水理量の変化の仕方は小さいと考えられるから、微小時間幅における運動は近似的に定常とみなすことが出来よう。此時間毎に定常流の変化を追うれば、全体として近似的に非定常流を分析把握する二段階に分るから、図-1 のような現象模型の単位中 単位時間あたりの解析を行つ。

III 理論解析

断面I~II間に shock condition を適用する。

$$h_1(u_1 - w) - h_2(u_2 - w) = 0 \quad (1)$$

$$u_1 h_1(u_1 - w) - u_2 h_2(u_2 - w) = \frac{g}{2} (h_1^2 - h_2^2) \quad (2)$$

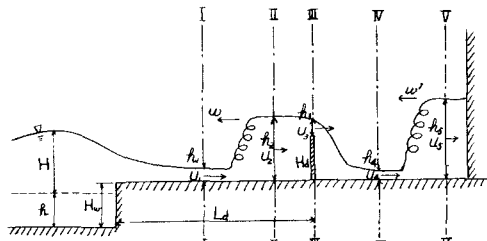


図-1. 断面と記号のとり方

また、断面II~III間にエネルギーの式と連続の式

を適用すれば

$$h_2 + \frac{u_2^2}{2g} = H_d + R_d + \frac{u_d^2}{2g} \quad (3)$$

$$U_2 R_2 = U_3 R_3$$

(4) - x_2

さらには断面IIIの水頭が水深にならざれば

$$U_3 = \sqrt{g h_3}$$

(5)

(1), (2)式より得られる $W < 0$ として。

$$W = U_1 - \sqrt{\frac{g h_2}{2 h_1}} (h_2 + h_1)$$

(6)

と(3)～(6)式の5個の方程式に対して未知数は、 R_1 , U_1 , h_1 , h_2 , h_3 , U_2 , W , Hd の8個だから、そのうち4個はあらかじめ与えられていなければならない。

いま R_1 , U_1 , Hd を既知とすれば (1)～(5)式より、 U_2 , h_2 , h_3 , W を消去して、 x_2 (または x_3) ($= \frac{h_2}{R_1}$) に関する3次式を得る。

$$Z = x_2 + \frac{1}{2} y^2 - \frac{3}{2} (x_2 y)^{\frac{2}{3}}$$

(7)

ここで

$$x_2 = \frac{h_2}{R_1}$$

$$y = R_1 - Y, \quad (Y = (x_2 - 1) \sqrt{\frac{1}{2} (1 + \frac{1}{x_2})})$$

$$Z = Hd / R_1$$

(4)式で越流量が0または正なることより、また(6)式で反射波の相対伝播速度が0または負なることより、 X_2 には次の制限が加えられる。

$$(x_2 - 1) \sqrt{\frac{1}{2} (1 + \frac{1}{x_2})} \leq R_1 \leq x_2 \sqrt{\frac{1}{2} (1 + \frac{1}{x_2})} \quad (8)$$

本節(7), (8)式より x_2 を求まつたり、(3)～(5)式より U_2 , h_3 を消去すれば R_1 , h_2 , Hd を既知とし、 R_3 (または $x_3 = \frac{h_3}{R_1}$) に関する3次の3次方程式を得る。

$$x_3^3 - 3x_2^2 x_3 + 2x_2^2 (x_2 - 2) = 0 \quad (9)$$

従つて侵入波の R_1 , U_1 と堤高 Hd が与えられ、(7)～(9)式よりその他の必要な水理量が求められる。

とくに(7)式を x_2 について解くことは非常に面倒だから、たとえば x_2 のみを parameter とし(9)式を数値計算して $[x_3 \sim R_1]$ または $[Z \sim R_1]$ の関係を図示すると図2A～Bによう。

図中点線で示された曲線のうち、 $x_{2(L)} = Z_{(L)}$ は(3)

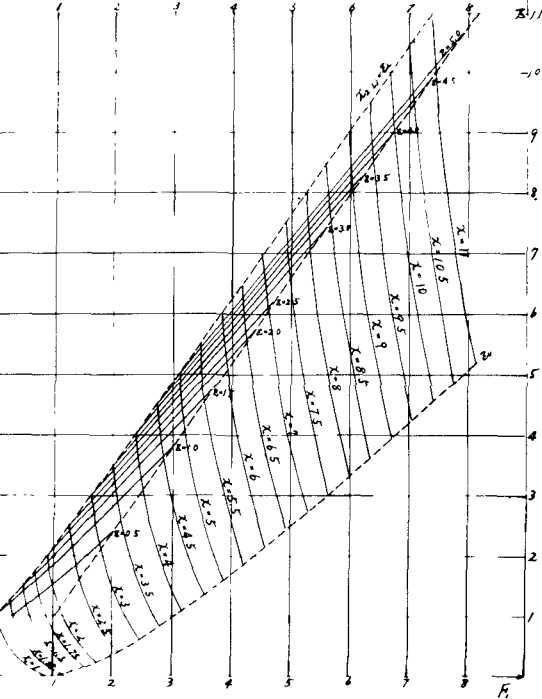


図2. $[x_2 \sim R_1]$, $[Z \sim R_1]$ 数値計算図

式の左側の等号が成立つときで堤頂越流量が0即ち完全反射する場合で R_1 の下限を表わす。また、 $Z_{(L)}$ は(8)式の右側の等号が成立つときで、 $W = 0$ 即ち跳水現象が起きる場合で R_1 の上限を表わす。この $R_2(L)$ に相当する $Z(L)$ は、シルのある水平水路の跳水に対する著者の一人岩崎が導いた式⁽³⁾と全く同じものである。

次に(9)式につづいて、 $x_{2(L)} = Z_{(L)}$ に相当する $x_3 = 0$ となり 3根のうち正の最小根が求められる。 次のようは解かれます。

$$x_3 = 2x_2 \cos\left(\frac{\theta}{3} + \frac{4\pi}{3}\right) \quad (10)$$

たゞし

$$\cos\theta = -\frac{x_2 - 2}{x_2}, \quad \frac{\pi}{2} \leq \theta \leq \pi$$

$$\therefore 0 \leq \frac{x_2 - 2}{x_2} \leq 1$$

とくに図2にそなへて例えば Z を parameter として数値計算したときの $[x_3 \sim R_1]$ の関係を図示すれば図2Cを得る。

さて、次に断面III～IV では、断面II～IIIにおけるエネルギー損失を観察して、

れと山(または干)の実験値とを比較検討する。山は直接測定するのが困難なので、山(H)の実験値から(6)式により計算して求めた。図-7はその結果であるが、少しハラツ干はあくまでも理論値と実験値は比較的よく一致を示している。しかし実験波の相違に拘らず、 $0.5 < F_1 < 2.5$ の限り

集中している。これは実験範囲が狭いからでは考えられず、むしろ陸上への越上波の特性を示すものと思われる。*Abbott*⁽⁴⁾ が陸上への越上波の所数は、特性曲線法を用いた "wave front condition" の理論から、1/2-F₁でありますと提案しているが、図-7はこれを実験するためではないか、と思われる。しかしながら、これについては今後専一層の詳細な実験的検討を要する。

(2) (10)式について

上と同様に、いま α_1, α_2, H_0 を既知として、 F_1 に関する(10)式による理論値と実験値を比較したのが図-8である。図-7と同様に両者はかなりよく一致している。

図-6, 7のようく、理論が実験と比較的よく合致するものは(9)式で示された所の適用範囲内の実験値で *shock condition* が成立する場合につきこの結果だからである。下の各々に相応すべしとの範囲を越えると、跳水は流れされ、越上津波は直立堤を乗り越えて烈しい流速をもつたまゝ直立堤の背後を走る。この場合はもはや *shock condition* は成立せず、理論の適用範囲外であり、かつ直立堤は津波対策としても効果あるものとはいえないよう思われる。

以上に断面Ⅲまでの実験結果による考察で近似理論の妥当性の証明されたので、断面Ⅳについては理論的にのみ考察することにする。断面Ⅳについては、前に述べたように前断面の隣接してあるから特に進入は必要性ないであろう。

(3) 直立堤の遮蔽効果について

断面Ⅰに対する断面Ⅳの水理量の変化をみれば、陸上に侵入してきた越上波に対する直立堤の遮蔽効果がわから易である。かりにいふ(1)で述べてきた理由により、 F_1 を1と干と2に極限して考慮してみよう。

$$(1) \frac{F_1}{F_1} = x_4$$

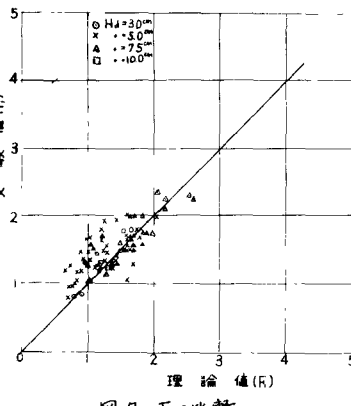


図-7 Fの比較

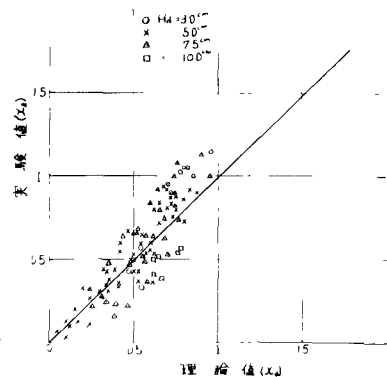


図-8 Fの比較

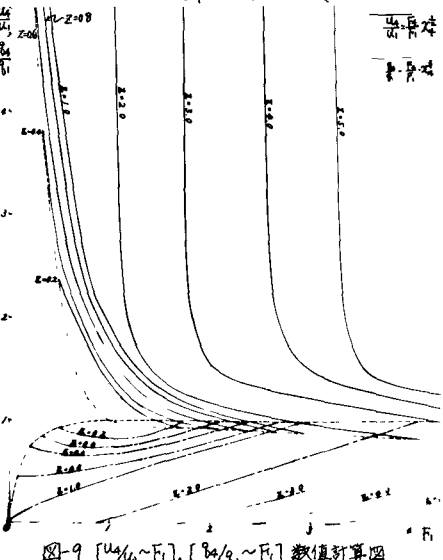


図-9 $[u_{\text{bottom}} \sim F_1], [H_0 \sim F_1]$ 数値計算図

$$H_4 + h_3 + \frac{u_3^2}{2g} = h_4 + \frac{u_4^2}{2g}$$

$$u_3 h_3 = u_4 h_4$$

(5), (11), (12)式より u_3, u_4 を消去すれば H_4 が既知となり、 h_4 (すなはち $x_4 = \frac{h_4}{g H_1}$) に関する三次方程式を得る。

$$x_4^3 - (z + \frac{3}{2}x_3)x_4^2 + \frac{1}{2}x_3^3 = 0 \quad (13)$$

(9)式の解とし(10)式を得たと同様の解の吟味により、3根のうち正の最小根を求めて得る。

$$x_4 = \frac{1}{3} \left(z + \frac{3}{2}x_3 \right) \left\{ 2 \cos \left(\frac{\theta}{3} + \frac{4\pi}{3} \right) + 1 \right\} \quad (14)$$

したがって、

$$\cos \theta = \frac{\left(z + \frac{3}{2}x_3 \right)^2 - 675x_3^3}{\left(z + \frac{3}{2}x_3 \right)^3}, \quad 0 \leq \theta \leq \pi$$

従つて $[x_4 \sim F_1]$ の数値計算図として図4を得る。

すなはち (5), (12) および

$$F_4 = \frac{u_4}{\sqrt{gh_4}} = \frac{h_3 u_3}{h_4 \sqrt{gh_4}} = \frac{h_3 \sqrt{gh_3}}{h_4 \sqrt{gh_4}} = \left(\frac{h_3}{h_4} \right)^{\frac{3}{2}} = \left(\frac{x_3}{x_4} \right)^{\frac{3}{2}} \quad (15)$$

次に、断面IV~V に断面I~III の堤頂からの越流量が0で完全反射する場合と同じであるから、特に解析する必要はない。結局、直立堤が一つの場合の断面I~IVについて検討すれば、あとは直立堤が複数あるときの導過してみるが、一つの場合については検討すれば十分である。

IV 実験

図5は示すように、実験装置は前論文に

おけりと同一である。

2. 長さ 23.0 m, 中

0.5 m 高さ 0.5 m

の二次元波動水槽で

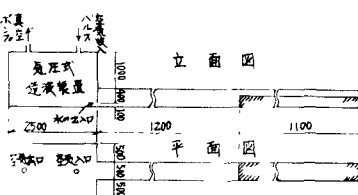


図5 実験装置概略

ある。すなはち長さ 10.0 m, 中 0.5 m, 高さ 0.312 m の全面真輪替の鉛直壁及水槽上模型の上に直立堤模型として、高さ 0.1 m, 5, 15, 25, 35 mm の長さの水槽全中にわたる 34 種類の L型鋼を用いた。測定は 16 mm カメラ 1 台を用い $16^{\circ}/sec$ の速さで直立堤近傍の波形の時間的変化を撮影し profile-projector で 1 コマずつ読み取った。その一例を図6に示す。

実験波は、静水位が 20~30 cm、波高が 5~15 cm の約 50 種類の孤立波を用いた。

V 考察

(1) (7)式について

いま h_1, h_2, H_4 の実験値を基礎として u_1 (すなはち $F_1 = u_1 / \sqrt{gh_1}$) の理論値を(7)式より計算し、こ

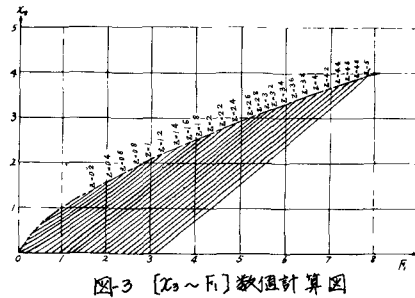


図3 $[x_4 \sim F_1]$ 数値計算図

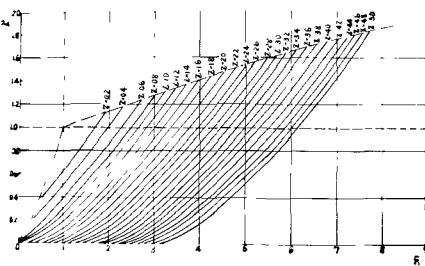


図4 $[x_4 \sim F_1]$ 数値計算図

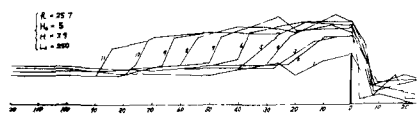


図6. 波形の時間変化
(1)

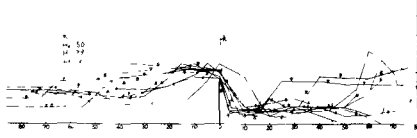


図6. 波形の時間変化
(2)

$$(2) \frac{U_4}{U_1} = \frac{U_4}{\sqrt{gH_4}} \cdot \frac{\sqrt{gH_4}}{\sqrt{gH_1}} = \frac{F_4}{F_1} X_4^{\frac{1}{2}}$$

$$(3) \frac{g_4}{g_1} = \frac{U_4 H_4}{U_1 H_1} = \frac{F_4}{F_1} X_4^{\frac{1}{2}} X_4 = \frac{F_4}{F_1} X_4^{\frac{3}{2}}$$

(1) の関係は図-4 に示すとおりである。 X_4 は正の大きさの程小さくなるか 1 以下となり常に對しては、 $0.4 < Z < 2.2$ 位がよろしくである。即ち $Z < 0.4$ で跳水が流され危険性があり $Z > 2.2$ では大きさまで収束に多くの可能性がある。

(2) と(3)は図-9 に示されたものが、流速と流量を共に出来たもので大小くずれれば(1)と同样に $0.4 < Z < 2.2$ 位の適用である。図-4, 9 付二つとも遮蔽効果を考慮して相対堤高比を決めるために用いられる。

VI 結論

(1) 陸上に遇上した津波の陸堤に対する作用は、開水路における非定常流の立場で論じるのよりも半端と思われることが、微小時間とそれに対する流速とみなして理論解析を近似できることがわかった。

(2) 従つて 陸上に遇上した津波の位置と時間に応じて波高比、流速比と陸堤の高さ H_d から求めれば、他の必要な水理量は、例えれば(1)式、高さ(1)式、幅(4)式からといふように順次求められる。

(3) 本研究の結果 図-2 の $Z=1$ の曲線で示されたように、従来痕跡高に一致して設置された防波堤は、 $H_d > 0$ の場合での遇上津波に対して越流を許し 例えれば $Z=2$ に対して反射波の波高は侵入波高の約 2.8 倍に達することがわかった。図-2 はこの見地から 遇上津波を完全に遮蔽するには、その倍数に応じてより大きな防波堤の高さ ($H_d = Z H_1$) を求めるに用いられる。

(4). また、同様に図-4, 9 の $Z=1$ の曲線で示されたように、例えれば $Z=2$ に対して堤背の波高と流量は約 1.7 倍、流速は約 1.2 倍となることとかわかる。図-4, 9 はこのように 遇上津波に対する陸堤の遮蔽効果を見積るために用いられる。

(5). 以上して(3)で述べたように、100% の遮蔽効果を期待する防波堤の高さはかなり大きくなり津波に対する問題であると考えられる。確かに高い防波堤によって海岸と背後地を遮断することは 日常の経済活動や生活の便利の上に少々の障害があることは疑いない。従つて まことに堤防の防波堤を敷設しても遮蔽効果を期待する方がより有効ではなかと思われる。

最後に、本研究は文部省試験研究費の助成を受けたことを付記して謝意を表したい。

参考文献

- 岩崎敏夫、高橋宏由：遇上津波に対する陸堤の効果に関する研究；第14回国海岸工学講演会講演集、土木学会、昭42.10, pp.221~224
- 岩崎敏夫、高橋宏由：八木・津波遇上について；東北支那技術研究発表会講演概要、土木学会東北支部、昭42.2, pp.5~8
- 岩崎敏夫：余水吐の減勢装置について；技術消火ための最近の水工学、土木学会東北支部、昭36.11, pp.62. 東北水工学 水理公式集, pp.219
- Abbott, M.B.: On the spreading of one fluid over another ; Gronoble, La Houille Blanche, 5, 6, 1961